



## ΣΤΟΧΑΣΤΙΚΕΣ ΔΙΕΡΓΑΣΙΕΣ & ΒΕΛΤΙΣΤΟΠΟΙΗΣΗ ΣΤΗ ΜΗΧΑΝΙΚΗ ΜΑΘΗΣΗ

**Παραγωγικά Μοντέλα μη Επιβλεπόμενης Μάθησης**

- 1. Μηχανή Boltzmann**
- 2. Παραγωγικά (Generative) Στοχαστικά Νευρωνικά Δίκτυα**
- 3. Generative Adversarial Networks (GAN)**
- 4. Restricted Boltzmann Machine (RBM), Deep Belief Networks**

καθ. Βασίλης Μάγκλαρης

[maglaris@netmode.ntua.gr](mailto:maglaris@netmode.ntua.gr)

[www.netmode.ntua.gr](http://www.netmode.ntua.gr)

Αίθουσα 002, Νέα Κτίρια ΣΗΜΜΥ

Παρασκευή 31/3/2023

# ΣΤΟΧΑΣΤΙΚΕΣ ΔΙΑΔΙΚΑΣΙΕΣ & ΒΕΛΤΙΣΤΟΠΟΙΗΣΗ ΣΤΗ ΜΗΧΑΝΙΚΗ ΜΑΘΗΣΗ

## Εφαρμογή Δειγματοληψίας Gibbs – Boltzmann Machine, BM (1/6)

(1985, *Geoffrey Hinton & Terry Sejnowski*)

Στόχος η προσέγγιση ελλειμματικού διανύσματος εισόδου (π.χ. **pattern completion** εικόνων) μέσω δημιουργίας διανύσματος εξόδου, στατιστικά συμβατού με **unlabeled** δείγμα μάθησης

Μια **Boltzmann Machine** (BM) περιλαμβάνει:

- **K Visible** και **L Hidden Neurons**
- **Συμμετρικές Συνάψεις**  $i \rightarrow j$ :  $w_{ji} = w_{ij}$ ,  $w_{ii} = 0$  εν δυνάμει μεταξύ όλων των νευρώνων της BM

Αποτελεί εξέλιξη του αναδρομικού δικτύου

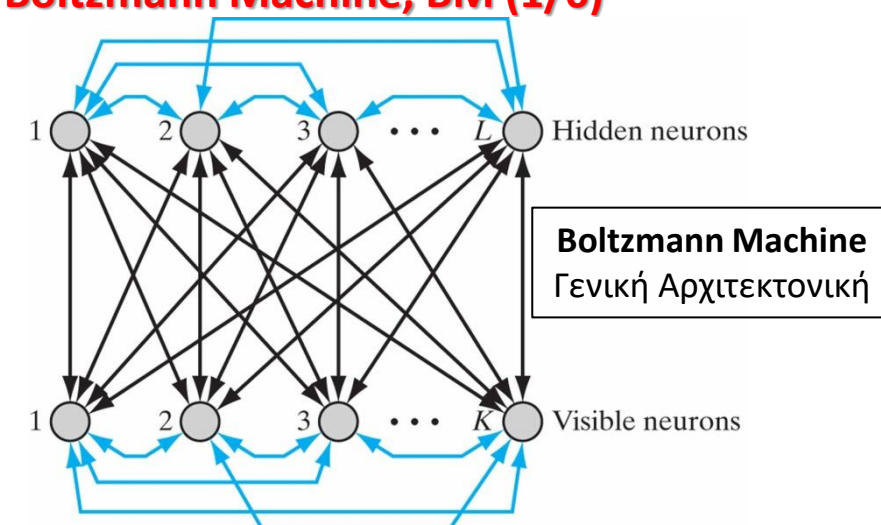
**Hopfield** με νευρώνες σε **δυαδικές καταστάσεις**

$\pm 1$  σύμφωνα με ορισμένες **πιθανότητες**

**(Stochastic Recurrent Network with Hidden**

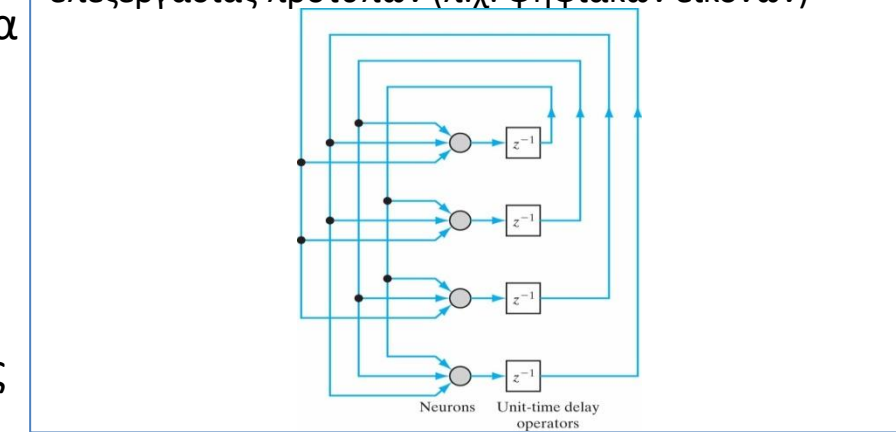
**Nodes**). Το δίκτυο συγκλίνει με **μη επιβλεπόμενη** μάθηση σε ισορροπία **Markov Random Field**:

- Δυαδικά παραδείγματα μάθησης εισάγονται στα **Visible Nodes** και με **gradient ascent** προσδιορίζονται συναπτικά βάρη και **τελικές** καταστάσεις των νευρώνων (**Visible & Hidden**)
- Δυαδικά στοιχεία **test** εισάγονται στα **Visible Nodes** και η BM τα αναπαράγει (**generates**, **sampling**) σύμφωνα με τις στατιστικές ιδιότητες του δείγματος μάθησης



## Νευρωνικό Δίκτυο Hopfield (1982, *John Hopfield*)

Δυαδικοί μη στοχαστικοί νευρώνες με αναδρομικές συμμετρικές συνάψεις, threshold activation και **supervised learning** για προσδιορισμό των  $w_{ji} = w_{ij}$ ,  $w_{ii} = 0$ , συμβατών με το αξίωμα του **Hebb** σε κατάσταση ισορροπίας (τοπικό ελάχιστο της **ενέργειας του συστήματος**). Εφαρμογές ταξινόμησης - επεξεργασίας προτύπων (π.χ. ψηφιακών εικόνων)



## Εφαρμογή Δειγματοληψίας Gibbs – Boltzmann Machine, BM (2/6)

### Φάσεις Μάθησης Μηχανής Boltzmann

- **Θετική Φάση Μάθησης:** Τα στοιχεία του δείγματος μάθησης κλειδώνουν (*clamp*) δυαδικές καταστάσεις  $\pm 1$  των **ορατών νευρώνων** με βάση τις τιμές γνωστών χαρακτηριστικών τους. Μέσω του προσδιορισμού των συναπτικών βαρών η **BM** κωδικοποιεί στους  $L$  **κρυφούς νευρώνες** στατιστικές ιδιότητες ανώτερης τάξεως (π.χ. συσχετίσεις) με οριακές πιθανότητες (**marginal distribution**) καταστάσεων **Gibbs** υπό τη συνθήκη κλειδωμένων καταστάσεων των  $K$  ορατών νευρώνων
- **Αρνητική Φάση Ελεύθερης Επεξεργασίας:** Σε δεύτερη φάση, οι νευρώνες (**ορατοί** και **κρυφοί**) αλληλεπιδρούν ελεύθερα χωρίς εξάρτηση από το δείγμα μάθησης και ορίζουν συναπτικά βάρη που οδηγούν τη **BM** προς καταστάσεις θερμικής ισορροπίας (**Gibbs**). Οι τελικές καταστάσεις των ορατών νευρώνων **παράγουν** (στην έξοδο) **νέα** δειγματικά στοιχεία με οριακές πιθανότητες χαρακτηριστικών συμβατές με το δείγμα μάθησης
- **Πολυπλοκότητα Αλγορίθμου:** Συνήθως απαιτείται μεγάλος αριθμός κρυφών νευρώνων **hyperparameter**  $L \gg K$  για κωδικοποίηση σύνθετων στατιστικών ιδιοτήτων χαρακτηριστικών πολυμόρφου δείγματος, καθώς και πολλές επαναλήψεις για ικανοποιητική σύγκλιση των συμμετρικών συνάψεων  $w_{ij} = w_{ji}$ ,  $w_{ii} = 0$  μεταξύ όλων των  $L + K$  νευρώνων
- **Αναλογία με Φυσιολογικά Νευρολογικά Συστήματα:** Ενίσχυση συνάψεων μεταξύ ενεργών νευρώνων (αξίωμα **Hebb**). Θετική Φάση  $\sim$  Ενεργή Εγκεφαλική Λειτουργία, Αρνητική Φάση  $\sim$  Επεξεργασία σε Κατάσταση Ύπνου (;)

# ΣΤΟΧΑΣΤΙΚΕΣ ΔΙΑΔΙΚΑΣΙΕΣ & ΒΕΛΤΙΣΤΟΠΟΙΗΣΗ ΣΤΗ ΜΗΧΑΝΙΚΗ ΜΑΘΗΣΗ

## Εφαρμογή Δειγματοληψίας Gibbs – Boltzmann Machine, BM (3/6)

### Ορισμοί

- **Κατάσταση Δικτύου:** Τυχαίο Διάνυσμά  $\mathbf{X} \rightarrow \mathbf{x} = [x_1 \ x_2 \ \dots \ x_K \ \dots \ x_m]^T$ ,  $m = L + K$   
 $x_i \in \{-1,1\} \triangleq \{OFF, ON\}$  όπου  $x_i$  η κατάσταση του **στοχαστικού** νευρώνα  $i$
- **Κατάσταση των  $K$  Ορατών &  $L$  Κρυφών Νευρώνων:**  $\mathbf{X}_\alpha \rightarrow \mathbf{x}_\alpha$ ,  $\mathbf{X}_\beta \rightarrow \mathbf{x}_\beta$ ,  $\mathbf{x} = (\mathbf{x}_\alpha, \mathbf{x}_\beta)$
- **Συναπτικά Βάρη**  $i \rightarrow j$ :  $w_{ji} = w_{ij}$ ,  $w_{ii} = 0$  (πιθανή εξωτερική επίδραση **bias** στον κόμβο  $j$  θεωρείται ότι εισάγεται από κόμβο 0 σε κατάσταση *ON* με βάρος  $w_{j0}$ )
- **Ενέργεια Κατάστασης BM:**  $E(\mathbf{x}) \triangleq -\frac{1}{2} \sum_i \sum_{j \neq i} w_{ji} x_i x_j$  για  $\mathbf{x}$  με στοιχεία  $x_i \in \{-1,1\}$   
(αναλογία με θερμοδυναμική)
- **Πιθανότητες Θερμικής Ισορροπίας:**  $P(\mathbf{X} = \mathbf{x}) = \frac{1}{Z} \exp\left(-\frac{E(\mathbf{x})}{T}\right)$ , κατανομή **Gibbs/Boltzmann**
- **Κατάσταση των  $K$  Ορατών Νευρώνων:**  $\mathbf{X}_\alpha \rightarrow \mathbf{x}_\alpha = [x_1 \ x_2 \ \dots \ x_K \ \dots \ x_K]^T$   
Η κατάσταση του ορατού νευρώνα  $i$  αντιστοιχεί σε δυαδικό χαρακτηριστικό (**feature**) του στοιχείου εισόδου/εξόδου  $i$  με πιθανότητα να είναι *ON* ίση με  $P(x_i = 1)$

<https://www.cs.toronto.edu/~hinton/csc321/readings/boltz321.pdf>

<https://youtu.be/5jaBneYd5Ig>

# ΣΤΟΧΑΣΤΙΚΕΣ ΔΙΑΔΙΚΑΣΙΕΣ & ΒΕΛΤΙΣΤΟΠΟΙΗΣΗ ΣΤΗ ΜΗΧΑΝΙΚΗ ΜΑΘΗΣΗ

## Εφαρμογή Δειγματοληψίας Gibbs – Boltzmann Machine, BM (4/6)

- Συμβάντα (Events) για Διανυσματικό Δείγμα με τη Διαστάσεις:

Για τυχαίο στοιχείο  $[X_1 = x_1 \ X_2 = x_2 \ \dots \ X_j = x_j \ \dots \ X_m = x_m]^T$  ορίζουμε τα **events**

$A: X_j = x_j, \quad B: (X_1 = x_1, \dots, X_{j-1} = x_{j-1}, X_{j+1} = x_{j+1}, \dots, X_m = x_m)$

και το  $C$  σαν **joint event** των  $A, B$ :  $(X_1 = x_1, \dots, X_j = x_j, \dots, X_m = x_m)$

Σε Θερμική Ισορροπία και για  $X_j$  που προκύπτουν από τη δειγματοληψία **Gibbs**:

$$P(C) = P(A, B) = \frac{1}{Z} \exp\left(\frac{1}{2T} \sum_i \sum_{j \neq i} w_{ji} x_i x_j\right)$$

$$P(B) = \sum_A P(A, B) = \frac{1}{Z} \sum_{x_j} \exp\left(\frac{1}{2T} \sum_{i \neq j} \sum_j w_{ji} x_i x_j\right)$$

- Υπό Συνθήκη Πιθανότητες Μεταβάσεων:

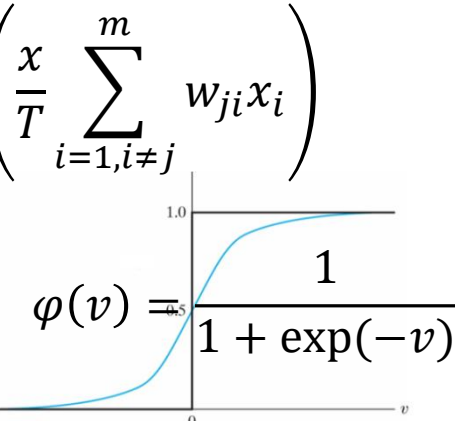
Δεδομένου ότι  $x_i, x_j$  παίρνουν τις τιμές  $\pm 1$  η υπό συνθήκη πιθανότητα  $P(A|B)$  απλοποιείται:

$$P(A|B) = \frac{P(A, B)}{P(B)} = \frac{1}{1 + \exp\left(-\frac{x_j}{T} \sum_{i \neq j} w_{ji} x_i\right)}$$

$$P(X_j = x | \{X_1 = x_1, \dots, X_{j-1} = x_{j-1}, X_{j+1} = x_{j+1}, \dots, X_m = x_m\}) = \varphi\left(\frac{x}{T} \sum_{i=1, i \neq j}^m w_{ji} x_i\right)$$

όπου  $\varphi(\cdot)$  η σιγμοειδής (**logistic**) συνάρτηση  $\varphi(v)$

Η  $P(A, B)$  προκύπτει σαν αποτέλεσμα της δειγματοληψίας **Gibbs** από αρχική κατάσταση  $\mathbf{x}(0)$  με διαδοχικές επισκέψεις  $\mathbf{x}(n) \rightarrow \mathbf{x}(n+1)$  λαμβάνοντας υπόψη τις πιο πρόσφατες ανανεώσεις των  $x_i(n)$  και διαδοχικά μειώνοντας την θερμοκρασία  $T \rightarrow 0$  (**Simulated Annealing**)



**Εφαρμογή Δειγματοληψίας Gibbs – Boltzmann Machine, BM (5/6)**

**Κανόνας Μάθησης Boltzmann**

**Εφαρμογή κριτηρίου Maximum Likelihood ή Log Likelihood**

Το διάνυσμα της κατάστασης  $\mathbf{x}$  αποτελείται από τη συρραφή δύο υποσυνόλων: Τις καταστάσεις των ορατών νευρώνων  $\mathbf{x}_\alpha$  και των κρυφών νευρώνων  $\mathbf{x}_\beta$  με πιθανότητες που θεωρούμε πως συγκλίνουν σε οριακές πιθανότητες θερμικής ισορροπίας **Gibbs**

Η λειτουργία της **BM** προχωρά σε δύο φάσεις:

- **Θετική Φάση** που καθορίζεται από τις συνθήκες κλειδώματος (**clamping**) καταστάσεων των ορατών νευρώνων στα παραδείγματα μάθησης από το δείγμα μάθησης  $\mathcal{T}$
- **Αρνητική Φάση** όπου το δίκτυο λειτουργεί αυτόνομα χωρίς εισόδους από το περιβάλλον

Με δεδομένα τα συναπτικά βάρη  $w_{ji}$ , στοιχεία της μήτρας  $\mathbf{w}$  όλου του δικτύου, προκύπτουν οι πιθανότητες **ορατών** καταστάσεων **Gibbs**  $P(\mathbf{X}_\alpha = \mathbf{x}_\alpha)$  που προσεγγίζουν την κατανομή του δείγματος μάθησης. Αν έχουμε πολλά στοιχεία στο  $\mathcal{T}$ , μπορούμε να θεωρήσουμε ότι οι καταστάσεις  $\mathbf{X}_\alpha$  είναι **ανεξάρτητα** τυχαία διανύσματα με πιθανότητα (πιθανοφάνεια προσέγγισης από τη κατανομή **Gibbs**) το **παραγοντικό γινόμενο**  $\prod_{\mathbf{x}_\alpha \in \mathcal{T}} P(\mathbf{X}_\alpha = \mathbf{x}_\alpha)$

Αν θεωρήσουμε τον λογάριθμο  $L(\mathbf{w})$  του γινομένου έχουμε

$$L(\mathbf{w}) = \log \prod_{\mathbf{x}_\alpha \in \mathcal{T}} P(\mathbf{X}_\alpha = \mathbf{x}_\alpha) = \sum_{\mathbf{x}_\alpha \in \mathcal{T}} \log P(\mathbf{X}_\alpha = \mathbf{x}_\alpha)$$

Οι  $P(\mathbf{X}_\alpha = \mathbf{x}_\alpha)$  συμπεριλαμβάνουν τις πιθανότητες των καταστάσεων  $\mathbf{x} = (\mathbf{x}_\alpha, \mathbf{x}_\beta)$ ,  $\forall \mathbf{x}_\beta$ :

$$P(\mathbf{X}_\alpha = \mathbf{x}_\alpha) = \frac{1}{Z} \sum_{\mathbf{x}_\beta} \exp\left(-\frac{E(\mathbf{x})}{T}\right), \quad Z = \sum_{\mathbf{x}} \exp\left(-\frac{E(\mathbf{x})}{T}\right)$$

# ΣΤΟΧΑΣΤΙΚΕΣ ΔΙΑΔΙΚΑΣΙΕΣ & ΒΕΛΤΙΣΤΟΠΟΙΗΣΗ ΣΤΗ ΜΗΧΑΝΙΚΗ ΜΑΘΗΣΗ

## Εφαρμογή Δειγματοληψία Gibbs – Boltzmann Machine, BM (6/6)

### Κανόνας Μάθησης Boltzmann

#### Εφαρμογή κριτηρίου Maximum Likelihood ή Log Likelihood (**συνέχεια**)

Προκύπτει επομένως για τον λογάριθμο του παραγοντικού γινομένου

$$L(\mathbf{w}) = \sum_{\mathbf{x}_\alpha \in \mathcal{T}} \left( \log \sum_{\mathbf{x}_\beta} \exp \left( -\frac{E(\mathbf{x})}{T} \right) - \log \sum_{\mathbf{x}} \exp \left( -\frac{E(\mathbf{x})}{T} \right) \right), \quad E(\mathbf{x}) = -\frac{1}{2} \sum_i \sum_{j \neq i} w_{ji} x_i x_j$$

Παραγωγίζοντας ως προς τα συναπτικά βάρη  $w_{ji}$  έχουμε

$$\frac{\partial L(\mathbf{w})}{\partial w_{ji}} = \frac{1}{T} \sum_{\mathbf{x}_\alpha \in \mathcal{T}} \left( \sum_{\mathbf{x}_\beta} P(\mathbf{X}_\beta = \mathbf{x}_\beta | \mathbf{X}_\alpha = \mathbf{x}_\alpha) x_j x_i - \sum_{\mathbf{x}} P(\mathbf{X} = \mathbf{x}) x_j x_i \right) \triangleq \frac{1}{T} (\rho_{ji}^+ - \rho_{ji}^-)$$

Το  $\rho_{ji}^+$  υποδηλώνει τον μέσο ρυθμό ενεργοποίησης (**firing rate**) ή τη συσχέτιση (**correlation**) μεταξύ των καταστάσεων των νευρώνων  $j \leftrightarrow i$  στη **Θετική Φάση** και το  $\rho_{ji}^-$  τη συσχέτιση (**correlation**) μεταξύ των καταστάσεων των νευρώνων  $j \leftrightarrow i$  στη **Αρνητική Φάση**

Ο κανόνας μάθησης Boltzmann (**Boltzmann Learning Rule**) μεγιστοποιεί το  $L(\mathbf{w})$  με τη μέθοδο του **gradient ascent** με σταθερό βήμα (**hyperparameter**)  $\epsilon$ :

$$\Delta w_{ji} = \epsilon \frac{\partial L(\mathbf{w})}{\partial w_{ji}} = \eta (\rho_{ji}^+ - \rho_{ji}^-)$$

Η **learning rate**  $\eta = \frac{\epsilon}{T}$  μεταβάλλεται σε διαδοχικές επαναλήψεις **Simulated Annealing** αντιστρόφως ανάλογα με τη μειούμενη  $T$ . Τα βάρη ανανεώνονται με βάση όλα τα στοιχεία του δείγματος μάθησης (**batch mode**) με μεγάλη πολυπλοκότητα και αργή σύγκλιση  $\Rightarrow$

**ΑΝΑΓΚΗ ΑΠΛΟΠΟΙΗΣΗΣ ΔΙΚΤΥΟΥ → RESTRICTED BOLTZMANN MACHNE (RBM)**

# **ΣΤΟΧΑΣΤΙΚΕΣ ΔΙΑΔΙΚΑΣΙΕΣ & ΒΕΛΤΙΣΤΟΠΟΙΗΣΗ ΣΤΗ ΜΗΧΑΝΙΚΗ ΜΑΘΗΣΗ**

## **Στατιστική Ταξινόμηση: Generative & Discriminative Models**

### **Παραδοσιακό Διακριτικό Μοντέλο (Discriminative Model) Στατιστικής Ταξινόμησης**

**Observable Input Data:**  $x$  **Target Output Labels:**  $y$

Απ' ευθείας εκτίμηση  $P(y|x)$  από δεδομένα του δείγματος μάθησης και ανάθεση της πιθανότερης  $y$  σε data  $x$  με βάση τις εμφανίσεις της  $y$  **υπό συνθήκη**  $x$  που μετρήθηκαν στη φάση της (**επιβλεπόμενης**) μάθησης, π.χ. **Logistic Regression** και **Back-Propagation Algorithm**

### **Παραγωγικό Μοντέλο (Generative Model) Στατιστικής Ταξινόμησης**

**Observable Input Data:**  $x$  **Target Output Labels:**  $y$

Εκίμηση  $P(x, y)$  με βάση **συνδυασμένες** στατιστικές παραδοχές εμφάνισης των  $x$  και  $y$ , υπολογισμός υπό συνθήκη πιθανοτήτων  $P(y|x) = \frac{P(x,y)}{P(x)}$ ,  $P(x) = \sum_y P(x,y)$  από κανόνα **Bayes** και ανάθεση της πιθανότερης  $y$  σε data  $x$ . Τα ζεύγη  $x, y$  **δημιουργούνται** σύμφωνα με τις εμπειρικές  $P(x, y)$  όπως αυτές εκτιμήθηκαν από το δείγμα μάθησης ώστε να προσεγγίζουν τα στατιστικά χαρακτηριστικά συγκεκριμένων εφαρμογών ταξινόμησης δεδομένων

**Παράδειγμα:**  $x \in \{1,2\}$ ,  $y \in \{0,1\}$  ([https://en.wikipedia.org/wiki/Generative\\_model](https://en.wikipedia.org/wiki/Generative_model))

$P(x, y)$	$y = 0$	$y = 1$
$x = 1$	1/2	0
$x = 2$	1/6	2/6

$\Rightarrow$

$P(y x)$	$y = 0$	$y = 1$
$x = 1$	1	0
$x = 2$	2/6	4/6

$$P(x = 1) = 1/2, P(x = 2) = 3/6 = 1/2$$

Προτιμάται για περιπτώσεις που τα δεδομένα παρουσιάζουν ελλείψεις (π.χ. κενά σε εικόνες ή δυσδιάκριτα σήματα φωνής) τις οποίες το σύστημα μάθησης καλείται να μαντέψει με βάση μοντέλα στατιστικών **συσχετίσεων** χαρακτηριστικών τους, π.χ. **Boltzmann Machine**

# ΣΤΟΧΑΣΤΙΚΕΣ ΔΙΑΔΙΚΑΣΙΕΣ & ΒΕΛΤΙΣΤΟΠΟΙΗΣΗ ΣΤΗ ΜΗΧΑΝΙΚΗ ΜΑΘΗΣΗ

## Στατιστική Προσέγγιση: Generative & Discriminative Models (1/2)

### Γενίκευση Παραγωγικού Μοντέλου (Generative Model)

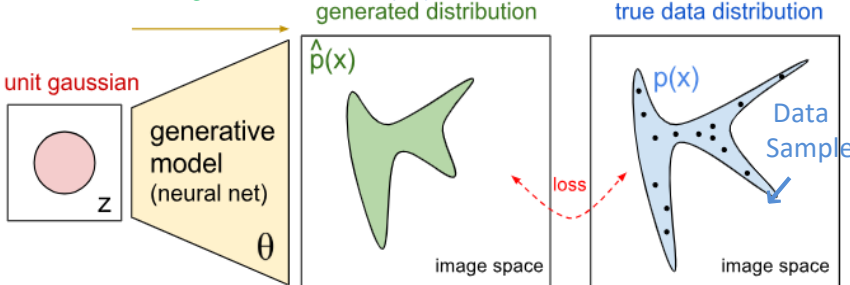
<https://openai.com/blog/generative-models/>

$p(x)$ : Κατανομή των στοιχείων του δείγματος μάθησης (**Training Sample**)  $\{x_1, x_2, \dots, x_n\}$

$\hat{p}_\theta(x)$ : Κατανομή των εικονικών στοιχείων του παραγόμενου δείγματος (**Generated Sample**)

στην **έξοδο** νευρωνικού δικτύου παραμέτρων  $\theta$  με αυθαίρετο δείγμα **εισόδου**, π.χ. 100 τυχαίοι αριθμοί με κανονική κατανομή, **Gaussian Sample**  $Z$

**Διαδικασία Μάθησης:** Ρύθμιση παραμέτρων  $\theta$  νευρωνικού δικτύου με βάση δεδομένα μάθησης (**Training Sample**) ώστε  $\hat{p}_\theta(x) \rightarrow p(x)$  (συνήθως κατά **Kullback-Leibler**)



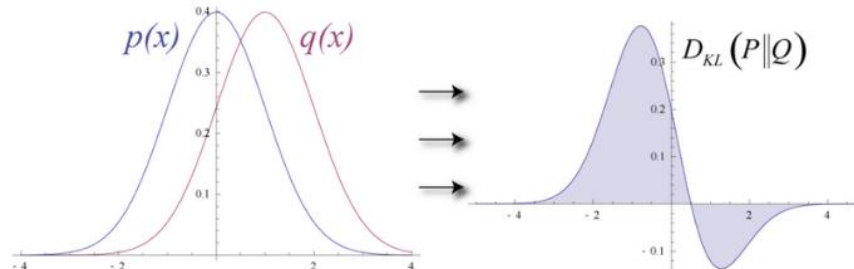
### Μετρικές Ομοιότητας Κατανομών $p(x), q(x)$

- **Kullback-Leibler (KL) Divergence** (Απόκλιση):

$$D_{KL}(P||Q) = \sum_{x \in \mathcal{T}} P(x) \log \frac{Q(x)}{P(x)}$$

(εφαρμόζεται σε **Boltzmann Machine**)

<https://skymind.ai/wiki/restricted-boltzmann-machine>



- **Expectation-Maximization (EM) Algorithm :**

Επαναλήψεις δύο σταδίων για προσδιορισμό λανθανουσών (**latent**) παραμέτρων:

(π.χ. προσδιορισμός ποσοστών μείξης τυχαίων μεταβλητών από 2 ανεξάρτητα δείγματα Gauss)

[https://en.wikipedia.org/wiki/Expectation%20maximization\\_algorithm](https://en.wikipedia.org/wiki/Expectation%20maximization_algorithm)

# ΣΤΟΧΑΣΤΙΚΕΣ ΔΙΑΔΙΚΑΣΙΕΣ & ΒΕΛΤΙΣΤΟΠΟΙΗΣΗ ΣΤΗ ΜΗΧΑΝΙΚΗ ΜΑΘΗΣΗ

## Στατιστική Προσέγγιση: Generative & Discriminative Models (2/2)

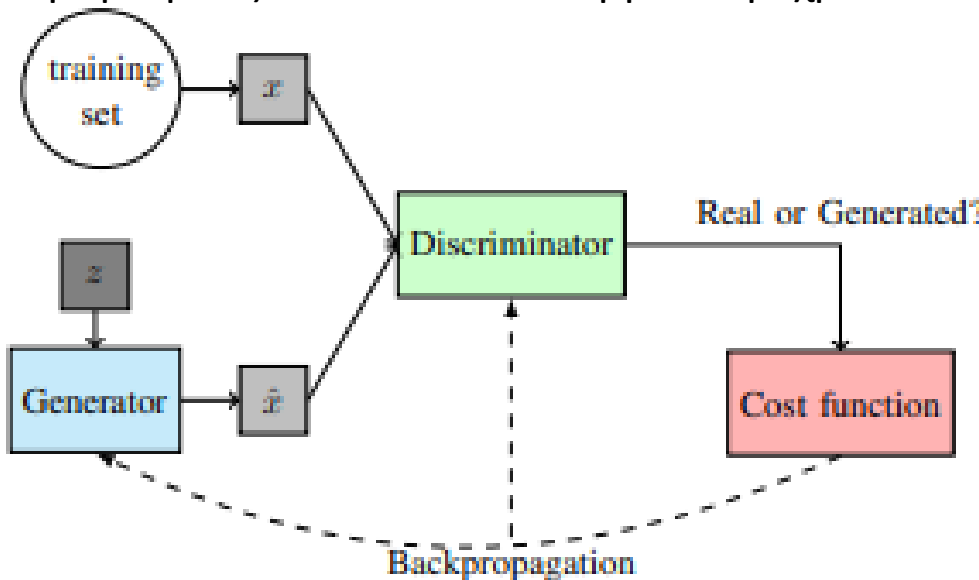
Generative Adversarial Networks - GAN (2014 *Ian Goodfellow et.al.*)

<https://arxiv.org/pdf/1406.2661.pdf>

Συνδυασμός ανεξάρτητης επεξεργασίας από δύο παίκτες σε *zero-sum adversarial min-max game* μεταξύ **παραγόμενου εικονικού δείγματος** και **αληθινού δείγματος**. Η **μάθηση** βασίζεται σε δυο βαθιά νευρωνικά δίκτυα τύπου Multilayer Perceptron - **MLP**:

- **Generator (G)** που με είσοδο **latent random variables**  $z$  (π.χ. **Gauss**) δημιουργεί στην έξοδο  $G(z)$  εικονικό παραγόμενο (**generated**) δείγμα  $\hat{x}$  με κατανομή  $p_\theta(\hat{x})$
- **Discriminator (D)** που προσπαθεί να ταξινομήσει με **επιβλεπόμενη μάθηση** τη διαφορά μεταξύ **αληθινών δεδομένων μάθησης**  $x \sim p(x)$  και **εικονικών δεδομένων**  $\hat{x} \sim p_\theta(\hat{x})$

Όσο ο **D** καταλαβαίνει τη διαφορά (έξοδος **Generated**), ο παίκτης **G** τροποποιεί τις παραμέτρους του και επαναλαμβάνει μέχρι να τον εξαπατήσει (έξοδος **Real**)



### Cost Functions (Loss) for D - G Game:

**D**:  $\max \left\{ \log D(x) + \log \left( 1 - D(G(z)) \right) \right\}$   
maximize probability  $\hat{x}$  classified as fake

**G**:  $\min \left\{ \log \left( 1 - D(G(z)) \right) \right\}$   
minimize probability  $\hat{x}$  classified as fake

**Εφαρμογές**: Computer vision, virtual reality, computer graphics, interactive games, scientific simulations, ....

<https://www.researchgate.net/publication/322413149 Everything You Wanted to Know about Deep Learning for Computer Vision but Were Afraid to Ask>

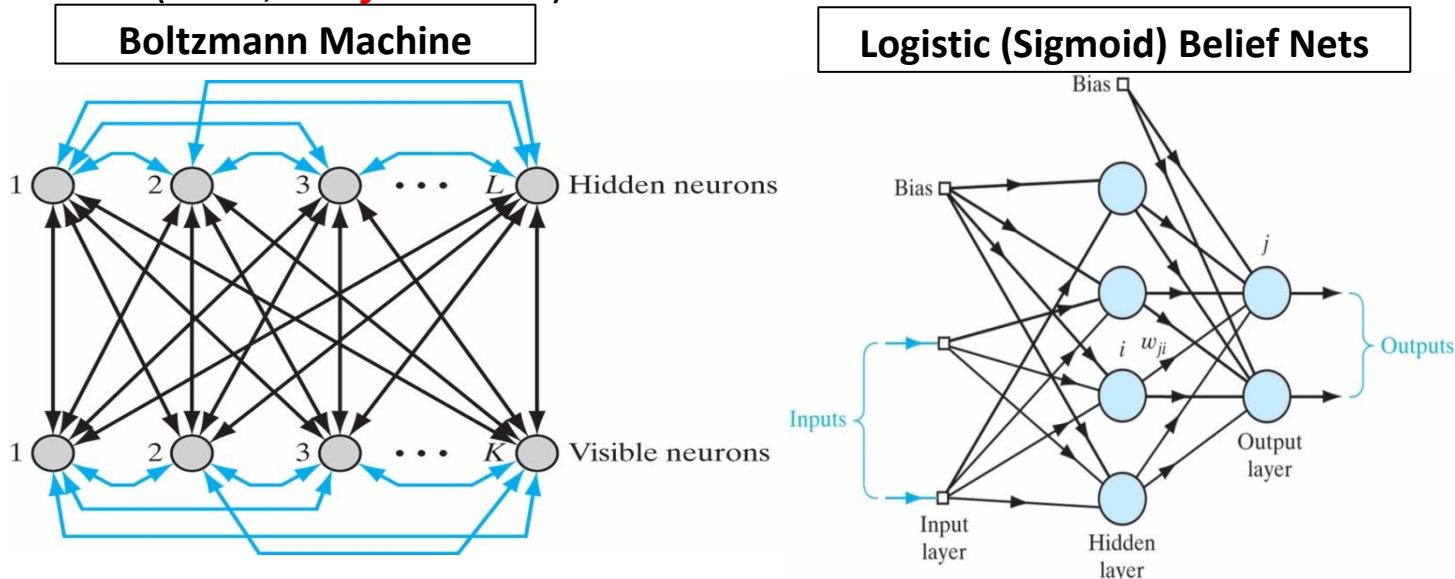
# ΣΤΟΧΑΣΤΙΚΕΣ ΔΙΑΔΙΚΑΣΙΕΣ & ΒΕΛΤΙΣΤΟΠΟΙΗΣΗ ΣΤΗ ΜΗΧΑΝΙΚΗ ΜΑΘΗΣΗ

## Generative Stochastic Neural Networks

Geoffrey Hinton, "Tutorial on Deep Belief Nets" 2007 NIPS (Neural Information Processing Systems) Conference <https://www.cs.toronto.edu/~hinton/nipstutorial/nipstut3.pdf>

### Generative Deep Neural Networks με Δυαδικούς (ON/OFF) Στοχαστικούς Νευρώνες

- **Στόχοι:** (1) Εκτίμηση (inference) μη παρατηρήσιμων (latent) συνιστωσών κατάστασης, (2) Παραγωγή (generation) εικονικών δεδομένων με κατανομή όμοια κατά **Kullback-Leibler (KL)** με την κατανομή του δείγματος μάθησης. Τα δειγματικά στοιχεία μάθησης θεωρούνται **ανεξάρτητα τυχαία διανύσματα**
- Συμμετρική Διασύνδεση δυαδικών στοχαστικών νευρώνων  $\Rightarrow$  Boltzmann Machine (1983, **Geoffrey Hinton & Terry Sejnowski**)
- Κατευθυντική Ακυκλική Διασύνδεση σε γράφο δυαδικών στοχαστικών νευρώνων  $\Rightarrow$  Logistic (Sigmoid) Belief Nets (1992, **Radford Neal**)

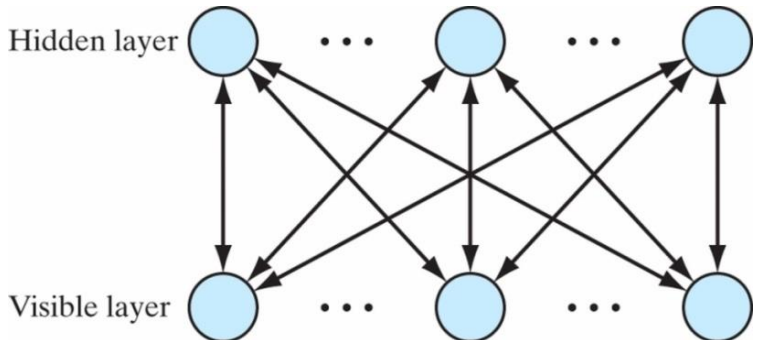


Δυσκολίες μάθησης (ρύθμιση συνάψεων κρυφών επιπέδων), αργή σύγκλιση

**Restricted Boltzmann Machine (RBM) (1/7)**

Harmonium (1986, *Paul Smolensky*) → RBM (2006, *Geoffrey Hinton*)

- Στοχαστικοί νευρώνες 2 επιπέδων (**ορατό, κρυφό**), συμμετρικές συνάψεις, καταστάσεις {0,1}
- Οι καταστάσεις των ορατών νευρώνων  $v_i$  κωδικοποιούν παρατηρήσιμα χαρακτηριστικά (*observable features*) δείγματος εισόδου/εξόδου, ενώ του κρυφού επίπεδου  $h_j$  κωδικοποιούν κρυφές ιδιότητες (*latent features*)
- Νευρώνες του ίδιου επιπέδου: **Ασύνδετοι** ⇒ Οι καταστάσεις κρυφών νευρώνων είναι **ανεξάρτητες** τυχαίες μεταβλητές υπό την συνθήκη των καταστάσεων των ορατών νευρώνων
- Συνάρτηση ενεργοποίησης νευρώνων: Σιγμοειδής (*logistic*) συνάρτηση  $\varphi(v) = \frac{1}{1+\exp(-v)}$
- Στη παράμετρο ενεργοποίησης  $v$  αθροίζονται οι καταστάσεις των συνδεόμενων νευρώνων με συναπτικά βάρη  $w_{ji} = w_{ij}$  καθώς και εξωτερικοί παράγοντες *bias*:  $a_i$  για τους ορατούς νευρώνες και  $b_j$  για τους κρυφούς
- Ξεκινώντας από κάθε δειγματικό στοιχείο μάθησης  $\in \mathcal{T}$  οι καταστάσεις των νευρώνων οδηγούνται σε ισορροπία σε επαναλαμβανόμενα διπλά **βήματα τυχαίας δειγματοληψίας Gibbs**  $t = 0, 1, 2, \dots, k$ . Κάθε βήμα περιλαμβάνει: (1) τη παραγωγή τιμών από **όλα** τα visible neurons → hidden neurons σε πρώτο πέρασμα και (2) σε δεύτερο πέρασμα από **όλα** τα hidden neurons → visible neurons



**Πλεονέκτημα RBM από Boltzmann Machine**

Η μη διασύνδεση μεταξύ νευρώνων του ίδιου επιπέδου επιταχύνει τη παραγωγή δείγματος με στατιστική ομοιότητα σε δεδομένα μάθησης όπως κλειδώνονται στους ορατούς νευρώνες

# ΣΤΟΧΑΣΤΙΚΕΣ ΔΙΑΔΙΚΑΣΙΕΣ & ΒΕΛΤΙΣΤΟΠΟΙΗΣΗ ΣΤΗ ΜΗΧΑΝΙΚΗ ΜΑΘΗΣΗ

## Restricted Boltzmann Machine (RBM) (2/7)

### Αλγόριθμος μάθησης σε RBM – Contrastive Divergence (Αντιφατική Απόκλιση)

(2002, *Geoffrey Hinton*)

<https://www.cs.toronto.edu/~hinton/absps/guideTR.pdf>, <https://christian-igel.github.io/paper/TRBMAI.pdf>

Συνιστώσα  $v_i \in \{1,0\}$  του  $\mathbf{x}_\alpha^{(t)}$ : Κατάσταση **ορατού** (*visible*) νευρώνα  $i$  στο βήμα  $t$

Συνιστώσα  $h_j \in \{1,0\}$  του  $\mathbf{x}_\beta^{(t)}$ : Κατάσταση **κρυφού** (*hidden*) νευρώνα  $j$  στο βήμα  $t$

**Ζητούμενο:** Συναπτικά Βάρη  $w_{ij} = w_{ji}$  μεταξύ ορατών και κρυφών νευρώνων ώστε στη σύγκλιση ( $t \rightarrow \infty$ ) να δημιουργηθούν καταστάσεις  $v_i$  του  $\mathbf{x}_\alpha^{(t)}$  με κατανομή **Gibbs** που να προσεγγίζει κατά **Kullback-Leibler (KL)** την κατανομή του δείγματος μάθησης  $\mathbf{x}_\alpha^{(0)} \in \mathcal{T}$

$$P(\mathbf{x}_\alpha^{(t)}) = \frac{1}{Z} \sum_{\mathbf{x}_\beta^{(t)}} \exp\left(-\frac{E(\mathbf{x}^{(t)})}{T}\right), E(\mathbf{x}^{(t)}) = E(\mathbf{x}_\alpha^{(t)}, \mathbf{x}_\beta^{(t)}) = -\sum_{i,j} v_i h_j w_{ij}, -\frac{\partial E(\mathbf{x}^{(t)})}{\partial w_{ij}} = v_j h_i$$

**Αλγόριθμος:** Για κάθε στοιχείο  $\mathbf{x}_\alpha^{(0)}$  του δείγματος μάθησης επαναλαμβάνεται σε βήματα  $t = 1, 2, 3 \dots k$  η διπλή παραγωγή διανυσμάτων καταστάσεων  $\mathbf{x}_\alpha^{(t)}, \mathbf{x}_\beta^{(t)}$

- Εκκίνηση  $t = 0$  με κλείδωμα των καταστάσεων των ορατών νευρώνων  $v_i$  σε **δειγματικό στοιχείο μάθησης**  $\mathbf{x}_\alpha^{(0)} \in \mathcal{T}$  και παραγωγή του  $\mathbf{x}_\beta^{(0)}$  των καταστάσεων των κρυφών νευρώνων  $h_j$  με τυχαίο τρόπο οριζόμενο με σιγμοειδή πιθανότητα:  $p(h_j = 1) = \varphi(b_j + \sum_i v_i w_{ij})$
- Για  $t = 1, 2, 3 \dots k$  ανανέωση των  $\mathbf{x}_\alpha^{(t)}$  από τις  $\mathbf{x}_\beta^{(t-1)}$  με  $p(v_i = 1) = \varphi(a_i + \sum_j h_j w_{ij})$  και των  $\mathbf{x}_\beta^{(t)}$  από τις  $\mathbf{x}_\alpha^{(t)}$  με  $p(h_j = 1) = \varphi(b_j + \sum_i v_i w_{ij})$
- Από τα  $\mathbf{x}_\alpha^{(0)}, \mathbf{x}_\alpha^{(k)}$  υπολογισμός διαφοροποιήσεων  $\Delta w_{ij}$  προς τη μεγιστοποίηση του **λογαρίθμου πιθανοφάνειας** των **ανεξαρτήτων**  $\mathbf{x}_\alpha \in \mathcal{T}$ :  $L(\mathbf{w}) = \sum_{\mathbf{x}_\alpha \in \mathcal{T}} \log P(\mathbf{X}_\alpha = \mathbf{x}_\alpha)$

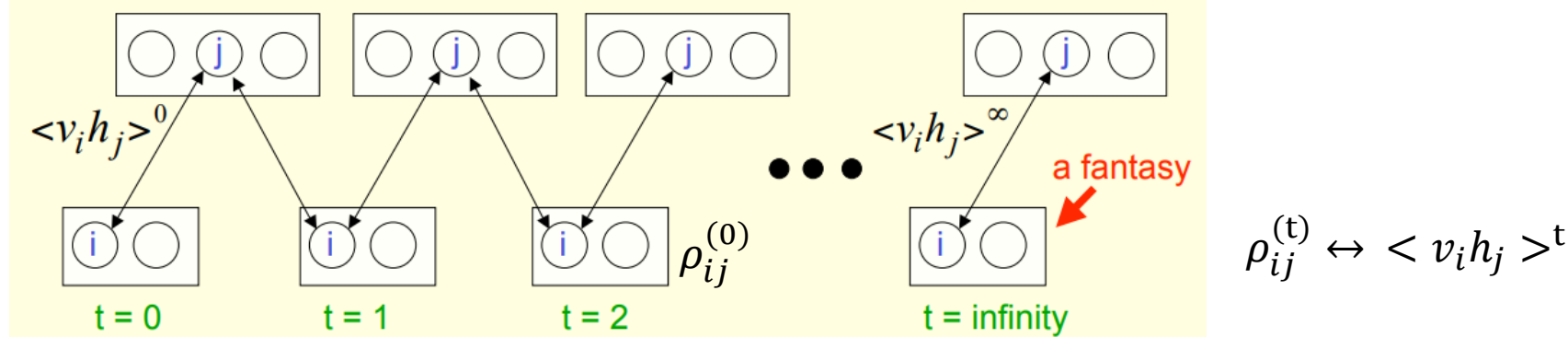
# ΣΤΟΧΑΣΤΙΚΕΣ ΔΙΑΔΙΚΑΣΙΕΣ & ΒΕΛΤΙΣΤΟΠΟΙΗΣΗ ΣΤΗ ΜΗΧΑΝΙΚΗ ΜΑΘΗΣΗ

## Restricted Boltzmann Machine (RBM) (3/7)

Αλγόριθμος μάθησης σε RBM – Contrastive Divergence (2002, *Geoffrey Hinton*)

<http://www.cs.utoronto.ca/~hinton/absps/nccd.pdf>

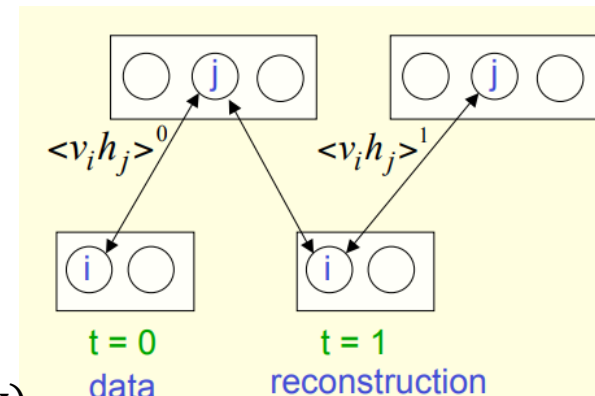
Κριτήριο: Μεγιστοποίηση του λόγου πιθανοφάνειας  $L(\mathbf{w}) = \sum_{\mathbf{x}_\alpha \in \mathcal{T}} \log P(\mathbf{X}_\alpha = \mathbf{x}_\alpha)$  με βήματα προς *Gradient Ascent*  $\frac{\partial L(\mathbf{w})}{\partial w_{ij}} = \rho_{ij}^{(0)} - \rho_{ij}^{(k)}$  όπου  $\rho_{ij}^{(0)}$  και  $\rho_{ij}^{(k)}$  οι μέσες συσχετίσεις των νευρώνων  $i, j$  κατά την εκκίνηση  $t = 0$  και την τελική σύγκλιση  $t = k \rightarrow \infty$  (*όπως στις Boltzmann Machines - BM* αλλά *χωρίς εξάρτηση από τη θερμοκρασία T* αφού δεν πραγματοποιείται *simulated annealing* όπως στον Αλγόριθμο Μάθησης των *BM*)



Προσέγγιση στη πράξη: Ανάλογα με τα δεδομένα μάθησης (αριθμός στοιχείων δείγματος, αντιπροσωπευτικότητα, παρατηρήσιμα χαρακτηριστικά - *features* που καθορίζουν τους ορατούς νευρώνες) και τον αριθμό κρυφών νευρώνων που καθορίζουν *latent features* μπορεί να αρκούν λίγα βήματα  $k$  αντί των πολλών για κατευθύνσεις μεγιστοποίησης  $\rho_{ij}^{(0)} - \rho_{ij}^{(\infty)}$

Μέγιστη απλούστευση:  $k = 1$ ,  $\Delta w_{ij} = \epsilon (\rho_{ij}^{(0)} - \rho_{ij}^{(1)})$

προσέγγιση *Contrastive Divergence* αντί μεγιστοποίησης του  $L(\mathbf{w})$



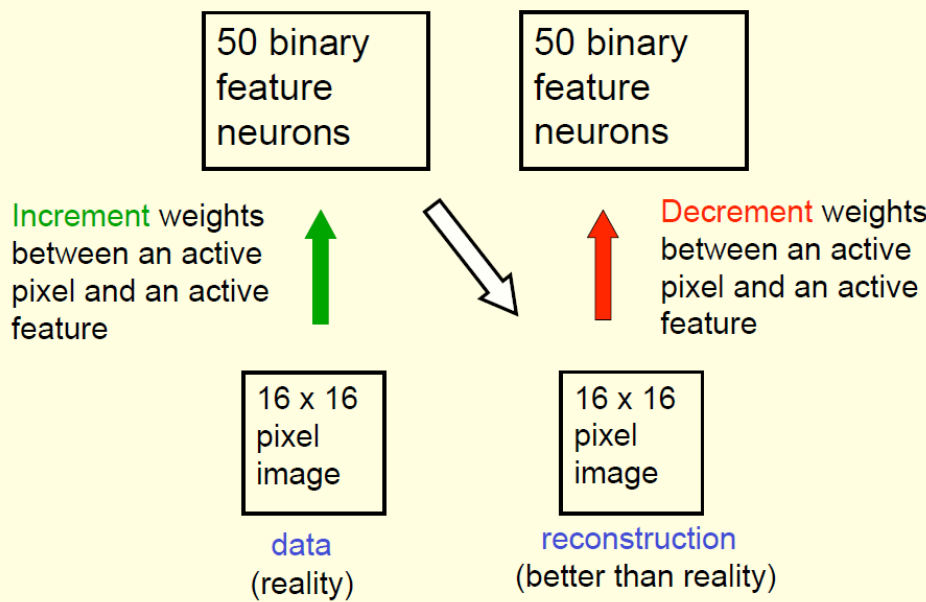
# ΣΤΟΧΑΣΤΙΚΕΣ ΔΙΑΔΙΚΑΣΙΕΣ & ΒΕΛΤΙΣΤΟΠΟΙΗΣΗ ΣΤΗ ΜΗΧΑΝΙΚΗ ΜΑΘΗΣΗ

## Restricted Boltzmann Machine (RBM) (4/7)

Geoffrey Hinton, "Tutorial on Deep Belief Nets" 2007 NIPS (Neural Information Processing Systems) Conference <https://www.cs.toronto.edu/~hinton/nipstutorial/nipstut3.pdf>

Παραγωγή εικονικού δειγματικού στοιχείου από δείγμα χειρόγραφων αριθμών  $16 \times 16 = 256$  pixels κωδικοποιημένα με 1 bit (άσπρο – μαύρο) μέσω RBM με 256 visible neurons & 50 hidden feature neurons ( $50 \times 256$  συναπτικά βάρη)  
(απλοποίηση από MNIST Database: αριθμός pixels  $784 \rightarrow 256$ , grayscale  $\rightarrow$  black/white)

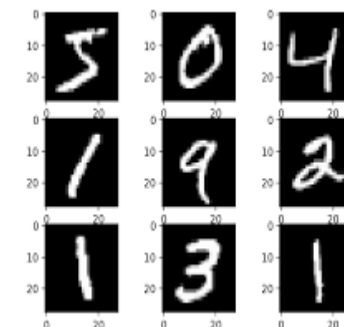
How to learn a set of features that are good for reconstructing images of the digit 2



### MNIST Datasets

#### Modified National Institute of Standards & Technology Database

- Images of Handwritten Numbers (0,...,9)
- $28 \times 28 = 784$  pixels/image
- Grayscale Encoding: Range (0,1)
- Learning Dataset: 60,000 Images
- Test Dataset: 10,000 Images

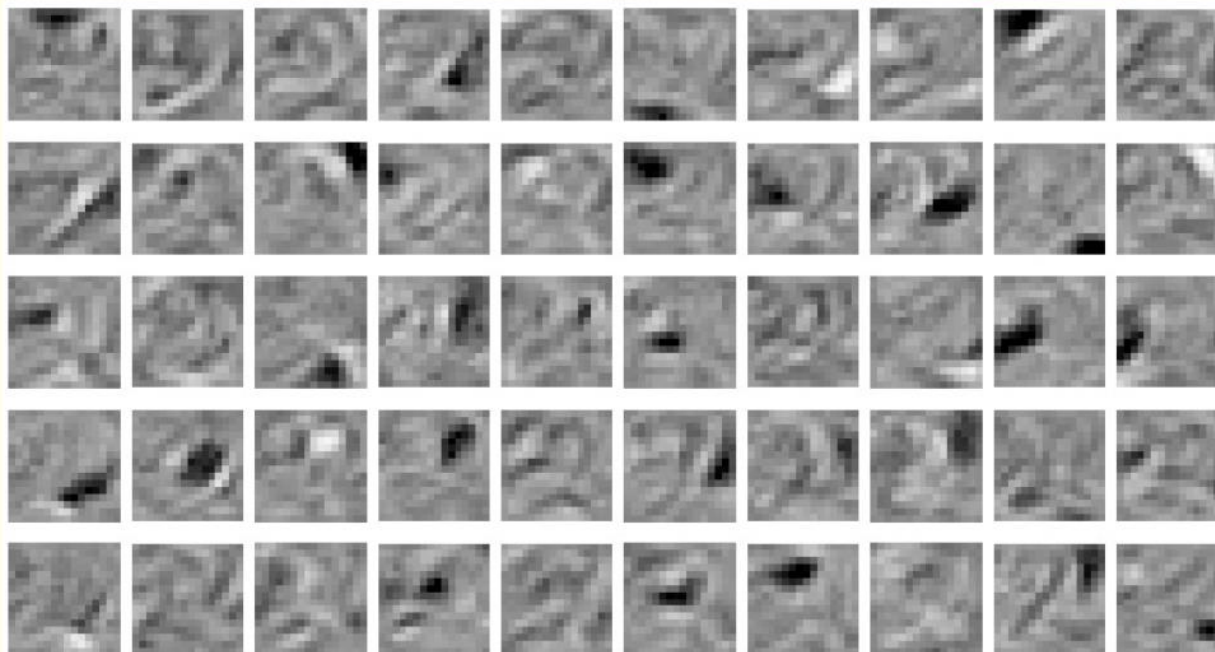


# ΣΤΟΧΑΣΤΙΚΕΣ ΔΙΑΔΙΚΑΣΙΕΣ & ΒΕΛΤΙΣΤΟΠΟΙΗΣΗ ΣΤΗ ΜΗΧΑΝΙΚΗ ΜΑΘΗΣΗ

## Restricted Boltzmann Machine (RBM) (5/7)

Geoffrey Hinton, "Tutorial on Deep Belief Nets" 2007 NIPS (Neural Information Processing Systems) Conference <https://www.cs.toronto.edu/~hinton/nipstutorial/nipstut3.pdf>

The final 50 x 256 weights



Each neuron grabs a different feature.

## Restricted Boltzmann Machine (RBM) (6/7)

Geoffrey Hinton, "Tutorial on Deep Belief Nets" 2007 NIPS (Neural Information Processing Systems) Conference <https://www.cs.toronto.edu/~hinton/nipstutorial/nipstut3.pdf>

**Προβλήματα γενίκευσης από υπεραπλούστευση διαδικασίας μάθησης:**

Λανθασμένη αναπαραγωγή χειρόγραφου αριθμού **3** από RBM με δείγμα μάθησης αποκλειστικά με χειρόγραφα στοιχεία αριθμού **2**

How well can we reconstruct the digit images  
from the binary feature activations?

Data  
↓  
Reconstruction  
from activated  
binary features



New test images from  
the digit class that the  
model was trained on

Data  
↓  
Reconstruction  
from activated  
binary features



Images from an  
unfamiliar digit class  
(the network tries to see  
every image as a 2)

## Restricted Boltzmann Machine (RBM) (7/7)

<https://christian-igel.github.io/paper/TRBMAI.pdf>

### Παράδειγμα Ταξινόμησης Προτύπων με RBM

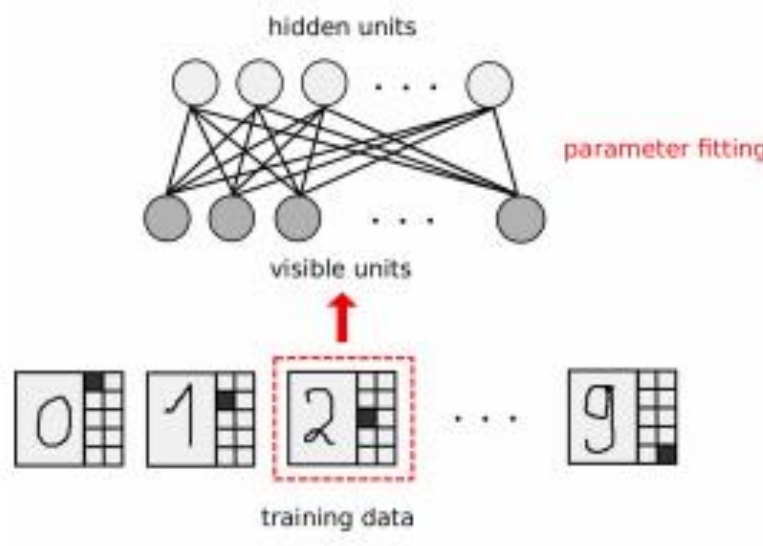
#### Μη Επιβλεπόμενη Μάθηση RBM

Δείγμα Μάθησης Εικόνων με προσθήκη **metadata**: Κωδικοποίηση κλάσης σαν **label** και ενσωμάτωση σε δειγματικά στοιχεία μάθησης που κλειδώνονται στην αρχική κατάσταση των ορατών νευρώνων της RBM

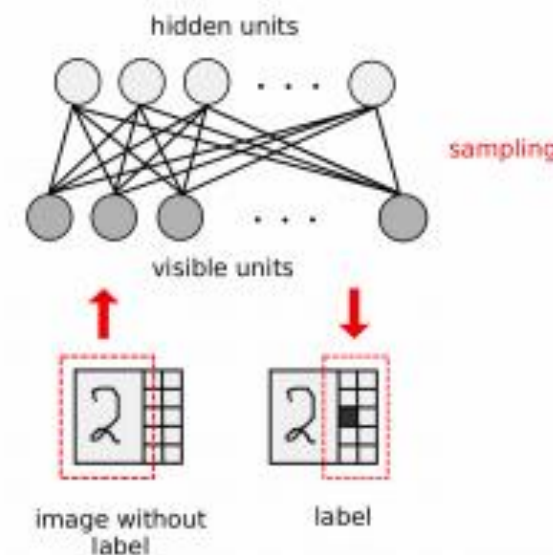
#### Ταξινόμηση Δείγματος Test

Είσοδος εικόνας test χωρίς **label** και **αναπαραγωγή** της στην τελική κατάσταση των ορατών νευρώνων της RBM με συμπλήρωση πληροφορίας κλάσης σύμφωνα με τις στατιστικές εκτιμήσεις που προέκυψαν από τη διαδικασία μάθησης

#### learning with labels



#### classification



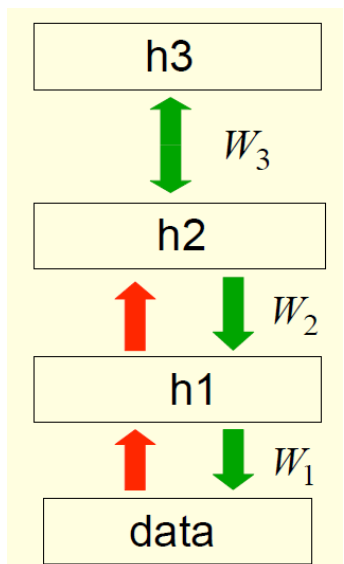
# ΣΤΟΧΑΣΤΙΚΕΣ ΔΙΑΔΙΚΑΣΙΕΣ & ΒΕΛΤΙΣΤΟΠΟΙΗΣΗ ΣΤΗ ΜΗΧΑΝΙΚΗ ΜΑΘΗΣΗ

## Deep Belief Nets

### Μάθηση των Deep Belief Nets (2007, *Geoffrey Hinton*)

Αποτελείται από στοίβα πολλαπλών ιεραρχικών στρωμάτων συνδεόμενων νευρώνων με δυαδικές στοχαστικές καταστάσεις:

1. Ορατό Στρώμα (*Visible Layer*) που αρχικά **κλειδώνει** σε δειγματικά στοιχεία μάθησης και μετά τη σύγκλιση **παράγει** δειγματικό στοιχείο (*generated visible state*)
2. Ιεραρχικά Κρυφά Στρώματα (*Hidden Layers*) που κωδικοποιούν στατιστικά χαρακτηριστικά (*features*) και στατιστικά χαρακτηριστικά χαρακτηριστικών (*features of features*) που προκύπτουν από το δείγμα μάθησης (λογική *pendemonium*, 1958 *Selfridge*)
3. Στο σχήμα με 3 Κρυφά Στρώματα, τα ανώτερα (**h2 & h3**) αποτελούν *Restricted Boltzmann Machines* (*harmonium*) με το **h2** να παίζει ρόλο ορατού στρώματος. Τα δύο κατώτερα (**visible data & h3**) διαμορφώνουν *Κατευθυντικό Γράφο* (*Logistic Belief Net*)



#### Φάση Μάθησης (bottom-up)

- Το στρώμα data συντονίζει το h1 με βάση το training sample
- Το h1 ενεργοποιεί το RBM (h2, h3)

#### Φάση Παραγωγής Δείγματος (sample generation)

- Η RBM (h2, h3) παράγει δείγμα ισορροπίας Gibbs με **πολλαπλές διαδοχικές επαναλήψεις** (κύριος λόγος καθυστέρησης)

#### Τελική Φάση Συνολικής Ανανέωσης Καταστάσεων (top-down)

- Τα κατώτερα στρώματα h1 και data συντονίζονται με το δείγμα ισορροπίας σε μία τελική επανάληψη